Numerical investigation of three-dimensional transition in the wake of a heated square cylinder

MOHD PERWEZ ALI

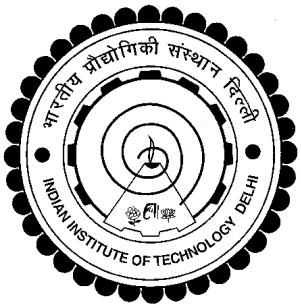

DEPARTMENT OF APPLIED MECHANICS
INDIAN INSTITUTE OF TECHNOLOGY DELHI
MARCH 2026

Numerical investigation of three-dimensional transition in the wake of a heated square cylinder

by

MOHD PERWEZ ALI
Department of Applied Mechanics

Submitted
in fulfillment of the requirements of the degree of Doctor of Philosophy
to the

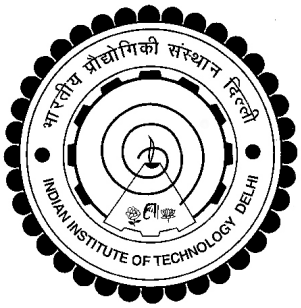

INDIAN INSTITUTE OF TECHNOLOGY DELHI
MARCH 2026

Certificate

This is to certify that the thesis entitled **"Numerical investigation of three-dimensional transition in the wake of a heated square cylinder"**, being submitted by **Mohd Perwez Ali** to the Indian Institute of Technology Delhi for the award of the degree of **Doctor of Philosophy**, is a record of the bonafide research carried out by him which has been prepared under our supervisions in conformity with the rules and regulations of the Indian Institute of Technology Delhi. The research reports and results presented in the thesis has not been submitted for any degree or diploma in any other university or institute.

Prof. Sanjeev Sanghi
Department of Applied Mechanics
Indian Institute of Technology Delhi
New Delhi - 110016
India

Prof. Nadeem Hasan
Department of Mechanical Engineering
ZHCET, Aligarh Muslim University
Aligarh - 202002
India

Acknowledgments

All praise be to Almighty ALLAH for His countless blessings and for granting me the strength, patience, and capability to pursue and complete this doctoral research journey.

I express my deepest gratitude to my supervisors, Prof. Sanjeev Sanghi and Prof. Nadeem Hasan, for their invaluable mentorship, insightful suggestions, and constant encouragement throughout the course of my PhD. Their guidance has played a pivotal role in shaping the direction and quality of this research. I am also thankful to the members of my Student Research Committee (SRC), Prof. Amitabh Bhattacharya, Prof. Anupam Dewan, and Prof. Amit Gupta, for their constructive feedback, thoughtful discussions, and encouragement during various stages of this work. I would also like to acknowledge Prof. Faisal S. Baig, whose course on Computational Fluid Dynamics (CFD) during my M.Tech program laid a strong foundation for my coding skills.

I am also grateful for the computational resources provided by the High Performance Computing (HPC) facility at the Indian Institute of Technology Delhi, which enabled the extensive simulations required for this work. Furthermore, I extend sincere thanks to all the members of the CFD Laboratory for their technical support, stimulating discussions, and for maintaining a motivating research environment. Lastly, I remain deeply indebted to my family for their unconditional support, sacrifices, and prayers. Their patience, encouragement, and faith in me have been my strongest source of motivation throughout this journey.

MOHD PERWEZ ALI

Abstract

This thesis presents a comprehensive direct numerical simulation (DNS) study of three-dimensional transitions in the wake of an infinitely long heated square cylinder, modeled using a spanwise periodic computational domain, subjected to uniform cross-flow of air (Prandtl number, $Pr = 0.7$) in the presence of thermal buoyancy. A non-Oberbeck–Boussinesq (NOB) compressible flow model is employed to account for variations in thermophysical and transport properties under large-scale heating conditions. To solve the governing compressible flow equations, a variant of the flux-based Particle Velocity Upwind-Modified (PVU-M+) scheme is utilized, employing finite difference techniques. A low Mach number of $M = 0.1$ is used to minimize pressure compressibility effects. The amount of heating is controlled by the overheat ratio, expressed as $\varepsilon = (T_w - T_\infty)/T_\infty$, where T_w is the wall temperature and T_∞ is the free-stream temperature.

At a Reynolds number of $Re = 250$, the heated wake exhibits multiple three-dimensional instability modes as heating increases. These modes are characterized by changes in the number of streamwise vortex pairs and the associated spanwise wavelength λ_z/L, where L denotes the side length of the square cylinder. As the heating level increases, the shorter wavelength structure Mode-B ($\lambda_z/L \sim 1.2$), observed in the unheated cylinder wake, transitions to longer wavelength structures: Mode-E ($\lambda_z/L \sim 2$) and Mode-D ($\lambda_z/L \sim 3$). The emergence and suppression of vortex dislocations are closely associated with the heating intensity, thereby influencing the unsteady force characteristics and frequency spectra.

A detailed analysis at $Re = 180$ highlights the role of baroclinic vorticity production

and thermophysical property variations in wake behavior. The chaotic wake associated with Mode-A instability in the unheated case transitions into a two-dimensional wake at low heating levels ($\varepsilon = 0.2$), followed by the emergence of periodic and quasi-periodic three-dimensional wakes as the heating level increases. The streamwise baroclinic vorticity production term (Γ_x) is identified as a key contributor to the generation of streamwise vorticity (Ω_x), while the spanwise term (Γ_z) plays an indirect role in redistributing rotational energy among other vorticity components, thereby modulating vortex shedding strength and frequency.

At $Re = 300$, the effect of free-stream orientation on the wake dynamics of the heated cylinder is investigated. Under aiding buoyancy, increasing heat input results in the suppression of vortex shedding and the development of steady or quasi-steady plume-like structures. In contrast, cross-buoyancy induces more complex and asymmetric wake behavior characterized by sustained vortex shedding. The imbalance between positively and negatively signed baroclinic term Γ_z introduces asymmetry in the wake, contributing to negative (downward) lift generation and an earlier onset of vortex shedding. The competing influences of the baroclinic terms Γ_x and Γ_z govern the degree of wake three-dimensionality, exhibiting distinct mechanisms across buoyancy configurations. Under aiding buoyancy, Γ_z suppresses vortex shedding and consequently weakens three-dimensionality. Conversely, in the cross-buoyancy case, the stronger Γ_x enhances the Ω_x, promoting increased three-dimensionality despite the presence of suppressive effects from Γ_z.

Finally, the evolution of wake instability modes is examined for a heated cylinder in cross-flow configuration under large-scale heating ($\varepsilon = 1.0$) across a Reynolds number range of $Re = 50$ to 300. A critical Reynolds number of $Re_{cr} = 113$ is identified for the onset of three-dimensional flow. Four distinct instability modes (such as Mode-D, Mode-E, Mode-DD*, and Mode-D*) are observed, each corresponding to a specific Reynolds number range. These mode transitions are characterized by both gradual and abrupt variations in the Strouhal number–Reynolds number (St-Re) relationship. Vortex

dislocations are found to significantly influence the wake structure and associated hydrodynamic forces. Additionally, the study establishes that a periodic spanwise domain length of $H_z = 6L$ is sufficient to resolve all relevant wake features with both qualitative and quantitative accuracy.

सारांश

यह शोध प्रबंध एक अनंत लंबाई वाले तापित वर्गाकार सिलेंडर के पीछे वेक में त्रि-आयामी संक्रमणों का एक व्यापक प्रत्यक्ष संख्यात्मक अनुकरण (DNS) अध्ययन प्रस्तुत करता है, जिसे स्पैनवाइज़ आवर्त संगणनात्मक क्षेत्र का उपयोग करके मॉडल किया गया है, और जो तापीय उछाल की उपस्थिति में वायु के समान अनुप्रस्थ प्रवाह (प्रैंड्टल संख्या, $Pr = 0.7$) के अधीन होता है। बड़े पैमाने के तापन की स्थितियों में ऊष्मीय-भौतिक तथा परिवहन गुणों में होने वाले परिवर्तनों को ध्यान में रखने के लिए एक गैर-ओबरबेक–बूसिनेस्क (NOB) संपीड्य प्रवाह मॉडल का उपयोग किया गया है। शासकीय संपीड्य प्रवाह समीकरणों को हल करने के लिए फ्लक्स-आधारित पार्टिकल वेलोसिटी अपविंड-संशोधित (PVU-M+) स्कीम का एक रूपांतर, फाइनाइट डिफरेंस तकनीकों का उपयोग करते हुए अपनाया गया है। दाब संपीड्यता प्रभावों को न्यूनतम करने के लिए $M = 0.1$ की निम्न मैक संख्या का उपयोग किया गया है। तापन की मात्रा को ओवरहीट अनुपात $\varepsilon = (T_w - T_\infty)/T_\infty$ द्वारा नियंत्रित किया जाता है, जहाँ T_w दीवार का तापमान है और T_∞ मुक्त प्रवाह का तापमान है।

रेनॉल्ड्स संख्या $Re = 250$ पर, तापित वेक तापन बढ़ने के साथ अनेक त्रि-आयामी अस्थिरता मोड प्रदर्शित करता है। इन मोडों की विशेषता स्ट्रीमवाइज़ भंवर युग्मों की संख्या तथा संबंधित स्पैनवाइज़ तरंगदैर्घ्य λ_z/L में परिवर्तन द्वारा होती है, जहाँ L वर्गाकार सिलेंडर की भुजा की लंबाई को निरूपित करता है। जैसे-जैसे तापन स्तर बढ़ता है, बिना तापन वाले सिलेंडर वेक में देखी जाने वाली छोटी तरंगदैर्घ्य संरचना Mode-B ($\lambda_z/L \sim 1.2$) लंबी तरंगदैर्घ्य संरचनाओं Mode-E ($\lambda_z/L \sim 2$) और Mode-D ($\lambda_z/L \sim 3$) में परिवर्तित हो जाती है। भंवर विस्थापन (vortex dislocations) का उद्भव और दमन तापन की तीव्रता से घनिष्ठ रूप से संबंधित है, जिससे अस्थिर बल विशेषताओं और आवृत्ति स्पेक्ट्रा प्रभावित होते हैं।

$Re = 180$ पर एक विस्तृत विश्लेषण वेक व्यवहार में बैरोक्लिनिक भंवरता उत्पादन तथा ऊष्मीय-भौतिक गुणों में परिवर्तन की भूमिका को उजागर करता है। बिना तापन के मामले में Mode-A अस्थिरता से संबंधित अराजक वेक कम तापन स्तर ($\varepsilon = 0.2$) पर एक द्वि-आयामी वेक में परिवर्तित हो जाता है, जिसके बाद तापन स्तर बढ़ने पर आवर्ती तथा अर्ध-आवर्ती त्रि-आयामी वेक का उद्भव होता है। स्ट्रीमवाइज़ बैरोक्लिनिक भंवरता उत्पादन पद (Γ_x) को स्ट्रीमवाइज़

भंवरता (Ω_x) के उत्पादन में एक प्रमुख योगदानकर्ता के रूप में पहचाना गया है, जबकि स्पैनवाइज़ पद (Γ_z) अन्य भंवरता अवयवों के बीच घूर्णन ऊर्जा के पुनर्वितरण में अप्रत्यक्ष भूमिका निभाता है, जिससे भंवर शेडिंग की तीव्रता और आवृत्ति नियंत्रित होती है।

$Re = 300$ पर, मुक्त प्रवाह अभिविन्यास का तापित सिलेंडर के वेक गतिकी पर प्रभाव का अध्ययन किया गया है। सहायक उछाल ($\mathrm{aiding\ buoyancy}$) के अंतर्गत, तापन इनपुट बढ़ने पर भंवर शेडिंग का दमन होता है और स्थिर या अर्ध-स्थिर प्लूम-जैसी संरचनाओं का विकास होता है। इसके विपरीत, क्रॉस-उछाल ($\mathrm{cross\text{-}buoyancy}$) अधिक जटिल और असममित वेक व्यवहार उत्पन्न करता है, जिसकी विशेषता निरंतर भंवर शेडिंग है। धनात्मक तथा ऋणात्मक चिह्नित बैरोक्लिनिक पद Γ_z के बीच असंतुलन वेक में असममितता उत्पन्न करता है, जो ऋणात्मक (नीचे की ओर) लिफ्ट उत्पन्न करने और भंवर शेडिंग के शीघ्र आरंभ में योगदान देता है। बैरोक्लिनिक पदों Γ_x और Γ_z के प्रतिस्पर्धी प्रभाव वेक की त्रि-आयामीता की मात्रा को नियंत्रित करते हैं तथा विभिन्न उछाल विन्यासों में भिन्न तंत्र प्रदर्शित करते हैं। सहायक उछाल के अंतर्गत, Γ_z भंवर शेडिंग को दबाता है और परिणामस्वरूप त्रि-आयामीता को कमजोर करता है। इसके विपरीत, क्रॉस-उछाल के मामले में, अधिक प्रबल Γ_x, Ω_x को बढ़ाता है, जिससे Γ_z के दमनकारी प्रभावों की उपस्थिति के बावजूद त्रि-आयामीता में वृद्धि होती है।

अंततः, बड़े पैमाने के तापन ($\varepsilon = 1.0$) के अंतर्गत क्रॉस-फ्लो विन्यास में तापित सिलेंडर के लिए वेक अस्थिरता मोडों के विकास का अध्ययन $Re = 50$ से 300 की रेनॉल्ड्स संख्या सीमा में किया गया है। त्रि-आयामी प्रवाह की शुरुआत के लिए $Re_{cr} = 113$ की एक क्रांतिक रेनॉल्ड्स संख्या की पहचान की गई है। चार विशिष्ट अस्थिरता मोड (जैसे $\mathrm{Mode\text{-}D,\ Mode\text{-}E,\ Mode\text{-}DD^*}$, और $\mathrm{Mode\text{-}D^*}$) देखे गए हैं, जिनमें से प्रत्येक एक विशिष्ट रेनॉल्ड्स संख्या सीमा के अनुरूप है। ये मोड संक्रमण स्ट्रोहल संख्या–रेनॉल्ड्स संख्या (St–Re) संबंध में क्रमिक तथा आकस्मिक दोनों प्रकार के परिवर्तनों द्वारा विशेषीकृत हैं। भंवर विस्थापन वेक संरचना तथा संबंधित जलगतिकीय बलों को महत्वपूर्ण रूप से प्रभावित करते हैं। इसके अतिरिक्त, अध्ययन यह स्थापित करता है कि $H_z = 6L$ की एक आवर्त स्पैनवाइज़ डोमेन लंबाई सभी प्रासंगिक वेक विशेषताओं को गुणात्मक तथा मात्रात्मक दोनों दृष्टियों से सटीक रूप से निरूपित करने के लिए पर्याप्त है।

Contents

List of Figures

List of Tables

Nomenclature

Abbreviations

Symbol	Description
CFD	Computational Fluid Dynamics
DNS	Direct Numerical Simulation
HPC	High-Performance Computing
NOB	Non-Oberbeck–Boussinesq
MPI	Message Passing Interface
RMS	Root Mean Square

Notations

Symbol	Description
Re	Reynolds number
Re_{cr}	critical Reynolds number
Ri	Richardson number
Pr	Prandtl number
Fr	Froude number
M	Mach number
Nu	Nusselt number
St	Strouhal number
ρ_∞	free-stream density

p_∞	free-stream pressure
U_∞	free-stream velocity
T_∞	free-stream temperature
μ_∞	free-stream dynamic viscosity
ν_∞	free-stream kinematic viscosity
k_∞	free-stream thermal conductivity
t	dimensionless time
Δt	dimensionless time-step
ρ	dimensionless density
p	dimensionless pressure
μ	dimensionless dynamic viscosity
ν	dimensionless kinematic viscosity
k	dimensionless thermal conductivity
E	dimensionless total specific energy
C_v	dimensionless constant volume-specific heat
$\vec{V}$	dimensionless fluid velocity
V_N	dimensionless local normal velocity
V_T	dimensionless local tangential velocity
g	gravity
ε	overheat ratio
λ_z	spanwise wavelength
γ	specific heat ratio
β	thermal expansion coefficient
R_d	cylindrical domain radius
L	side length of the square cylinder
H_z	periodic span-length of square cylinder
T_w	uniform cylinder surface temperature
α	free-stream inclination angle relative to gravity

x, y, z	dimensionless Cartesian coordinates
u, v, w	dimensionless fluid velocity components along x, y, z directions
Ω_x, Ω_y, Ω_z	vorticity along x, y, z directions
Γ_x, Γ_y, Γ_z	baroclinic vorticity production terms along x, y, z directions
ΔT	temperature difference between the cylinder surface and the free-stream
i, j, k	local indices
ξ, η	curvilinear coordinates
C_D	drag coefficient
C_L	lift coefficient
$\bar{C}_D$	time-averaged drag coefficient
$\bar{C}_L$	time-averaged lift coefficient
1-D	one-dimensional
2-D	two-dimensional
3-D	three-dimensional
∇	gradient operator
∇^2	laplace operator
∂	partial derivative
∂^2	partial double derivative